

С феноменологич. точки зрения  $0^+$  рассматривается как состояние ядра  $A(N-1, Z+1)$ , принадлежащее тому же изомультиплету, что и осн. состояние ядра  $A(N, Z)$ , т. е. отвечающее тому же изоспину  $T=(N-Z)/2$ , но отличающееся от последнего проекцией изоспина  $T_z$ : для  $A(N, Z)$   $T_z=T$ , для аналогового Г. р.

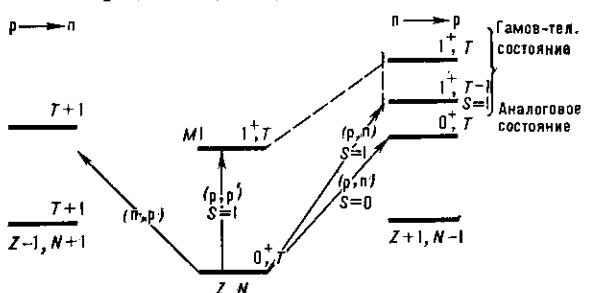


Рис. 5. Схема возбуждения зарядово-обменных и нейтральных резонансов.

$T_z=T-1$ . Такая схема соответствует приближённому сохранению в ядерных процессах изоспиновой симметрии (парушаемой эл.-магн. поправками).

Наряду с энергией Г. р., к-рая отсчитывается от осн. состояния ядра  $A(N, Z)$ , важной характеристикой зарядово-обменных Г. р. является величина матричного элемента  $\mu$   $\beta$ -перехода в осн. состояние ядра  $A(N, Z)$ . Энергия аналогового Г. р. определяется разностью кулоновских энергий  $\Delta E_k$  ядер  $A(N-1, Z+1)$  и  $A(N, Z)$ :

$$\mathcal{E}(0^+) = \Delta E_k \approx 1,444 ZA^{-1/3} + 1,27 \text{ (МэВ)}, \quad (3)$$

а  $\mu$  с точностью до 1–2% исчерпывает правило сумм, что связано с приближённым сохранением изоспина:

$$M^2(0^+) \approx N - Z. \quad (4)$$

Энергия гамов-теллеровского резонанса в ср. ядрах лежит на 2–4 МэВ выше  $\mathcal{E}(0^+)$  и приближается к  $\mathcal{E}(0^+)$  с ростом  $A$  и  $N-Z$ . Для тяжёлых ядер ( $Pb-U$ ) энергии  $\mathcal{E}(0^+)$  и  $\mathcal{E}(1^+)$  практически совпадают, что может означать приближённую реализацию т. н. спин-изоспиновой (вигнеровской) симметрии в тяжёлых ядрах (см. Унитарная симметрия). Гамов-теллеровский Г. р. исчерпывает ок. 60% своего правила сумм. Причиной может быть переход в более сложные  $1^+$  состояния (2ч–2д) либо влияние далёких по энергии, но сильно коллективных состояний, описывающих виртуальные возбуждения самих нуклонов ядра. Если  $T$ —изоспин аналогового Г. р. ядра  $A(N, Z)$ , то гамов-теллеровский Г. р. того же ядра имеет изоспин  $T-1$ .

Наряду с аналоговым и гамов-теллеровским Г. р. в реакциях (p, n) при энергии протонов  $\sim 200$  МэВ наблюдаются также Г. р. положительно заряж. ветви возбуждений средних и тяжёлых ядер с  $L=1$ ,  $S=1$  и  $L=2$ ,  $S=1$ . Первые имеют квантовые числа  $I^\pi = -0^-, 1^-, 2^-$ , вторые  $-1^+, 2^+, 3^+$ . Для ветви  $\Delta Q = -1$  наблюдались: в реакции  $(\pi^-, \pi^+) \text{ Г. р. } 0^+(2\hbar\omega)$ ; в  $\beta$ -распаде протонно-избыточных ядер  $-1^+$ ; в  $\mu$ -захвате на ядре  $^{40}\text{Ca}$   $-1^-$  ( $S=0, L=1$ ), являющийся отрицат. изотопич. аналогом электрического дипольного Г. р. (рис. 5).

**Распад, формирование Г. р.** Как правило, Г. р. расположены при энергиях возбуждения, превышающих пороги испускания частиц из ядра, и, следовательно, распадаются преим. с вылетом нуклонов или лёгких ядер. Самые лёгкие ядра распадаются преим. с испусканием  $\alpha$ -частиц; с ростом  $A$  возрастает доля протонного канала, однако с увеличением  $Z$  он обрезается кулоновским барьером ядра. Тяжёлые ядра распадаются в основном с испусканием нейтронов. Наблюдается также деление ядра из Г. р.  $E1$  и  $E2$ . Распад аналоговых Г. р. идёт как с вылетом протонов, так и по нейтронному каналу (запрещённому при строгом сохранении изоспина).

Изучение каналов распада Г. р. позволяет выяснить его формирование, изучить его связь с др. возбуждениями ядра, получить информацию о поведении кулоновского барьера при колебаниях ядра, распады Г. р. дают информацию о вкладе различных одиночечных состояний в структуру коллективного состояния.

Взаимодействие ядра с внешн. полем с образованием Г. р. разделяется на ряд этапов. На 1-м этапе происходит рождение частично-дырочного возбуждения, отвечающего состояниям  $1^- - 1d$  над поверхностью Ферми исходного ядра. На 2-м этапе возбуждённая пара взаимодействует с нуклонами ядра, образуя другое ( $1^- - 1d$ ) состояние или две частично-дырочные пары ( $2ch - 2d$ -состояние). Далее образуются ( $3ch - 3d$ ) и более сложные конфигурации, пока не установится статич. равновесие.

Полная ширина Г. р. ( $\Gamma$ ) обусловлена двумя процессами: прямым распадом в область непрерывного спектра  $(\Gamma^{\uparrow})\Gamma^{\uparrow}$  и распадом ( $1^- - 1d$ )-конфигураций на более сложные многочастичные ( $\Gamma^{\downarrow}$ ). Смешивание со сложными конфигурациями приводит к потере когерентности и образованию состояний составного ядра. Макроскопически  $\Gamma^{\downarrow}$  связано с «ядерной вязкостью», приводящей к затуханию колебаний ядра. При распаде лёгких ядер в полной ширине Г. р. преобладает  $\Gamma^{\uparrow}$ , для тяжёлых —  $\Gamma^{\downarrow}$ , причём для последних в случае  $E1 \Gamma^{\downarrow} \sim 80-90\%$  от полной ширины.

**Экспериментальные методы.** Г. р. возбуждаются за счёт эл.-магн. и сильного взаимодействий частиц с ядром. При взаимодействии  $\gamma$ -квантов с энергией  $10-25$  МэВ с ядром избирательно возбуждаются Г. р.  $E1$ , т. к. длина волны  $\gamma$ -квантов  $\lambda \gg R$ , а Г. р. высших мультипольностей подавлены в отношении  $(R/\lambda)^{2L-1}$ .

Оsn. метод изучения др. Г. р. — неупругое рассеяние частиц. Напр., при неупругом рассеянии быстрых электронов возбуждаются все Г. р. с  $\Delta T=0$  и  $\Delta T=1$ , но имеет место высокий уровень фона. В неупругом рассеянии протонов также могут возбуждаться все виды Г. р., однако кинематич. особенности реакции при энергии протонов  $E_p \leq 40-50$  МэВ уменьшают вероятность возбуждения Г. р. с  $\Delta T=1$ ,  $S=1$ . Г. р. выделяются над фоном (связанным с прямым выбыванием протонов из ядра) при  $E_p > 100$  МэВ.

Наилучшие результаты для изучения изоскалярных Г. р. даёт рассеяние  $\alpha$ -частиц и ядер  ${}^6\text{Li}$  с энергией  $> 100$  МэВ (рис. 4). В этих процессах запрещено возбуждение Г. р. с  $\Delta T=1$  (а в случае  ${}^6\text{Li}$  имеет место значит. снижение фона).

Для изучения зарядово-обменных резонансов используют реакции перезарядки нуклонов. В реакции (p, n) возможно возбуждение состояний как с  $S=0$ , так и  $S=1$ , причём первые возбуждаются при энергиях  $E_p \leq 40$  МэВ, а вторые при  $E_p \sim 100-200$  МэВ. В реакции  $({}^6\text{Li}, {}^6\text{He})$  возможно лишь образование Г. р. с  $S=1$ .

Для изучения Г. р. нейтральной ветви использовались также реакции  $(d, d')$ ,  $({}^3\text{He}, {}^3\text{He}')$ , рассеяние лёгких и тяжёлых ионов, в положит. ветви  $- (\pi^+, \pi^0)$ ,  $({}^3\text{He}, {}^3\text{H})$ , в отрицат. ветви  $({}^7\text{Li}, {}^7\text{Be}) - (n, p)$ ,  $(\pi^-, \pi^+)$ ,  $\mu$ -захват и  $\beta$ -распад протонно-избыточных ядер.

**Лит.** Наумов Ю. В., Крафт О. Г., Изоспин в ядерной физике, Л., 1972; Айзенберг И., Грайнер В., Модели ядер. Коллективные и одночастичные явления, пер. с англ., М., 1975; Бор О., Моттельсон Б., Структура атомного ядра, пер. с англ., т. 2, М., 1977; Бертч Дж. Ф., Колебания атомных ядер, пер. с англ., «В мире науки», 1983, № 7, с. 16.

Ю. В. Гапонов, С. П. Камерджиев, А. А. Оглоблин.  
**ГИГАНТСКИЕ СИЛЫ ОСЦИЛЛЕТОРА** — возникают, когда оптически создаваемый экситон рождается в связанном состоянии. Это может быть связанное состояние экситона с примесным центром (экситонно-примесный комплекс — ЭПК) либо с др. квазичастичей (с др. экситоном, магноном, фононом и др.). Необходимо только, чтобы энергия связи  $E_{\text{св}} \ll E_0$ , где  $E_0$  — ширина экситонной зоны (рис.).